

بررسی درهم‌تنیدگی و انتقال از دور حالت‌های همدوس دوتایی درهم‌تنیده نوسانگر هماهنگ

اردشیر رابعی، اردلان فتاحی زاده

دانشکده علوم، دانشگاه رازی، باغ ابریشم، کرمانشاه

پست الکترونیکی: rabeie@razi.ac.ir

(دريافت مقاله: ۱۳۹۲/۳/۱۸؛ دریافت نسخه نهایی: ۱۳۹۳/۵/۲۶)

چکیده

در این مقاله حالت‌های همدوس درهم‌تنیده دوتایی نوسانگر هماهنگ را با استفاده از رونوشت حالت‌های همدوس نوسانگر هماهنگ ایجاد می‌نماییم. نشان خواهیم داد که اگر این حالت‌های درهم‌تنیده، در محیط خلاء جاسازی شود، درهم‌تنیدگی آنها کاهش می‌یابد، اما نه به طور کامل. همچنین به منظور بررسی تراسانی، هماندهی مطلوب این حالت‌ها را مورد ارزیابی قرار می‌دهیم.

واژه‌های کلیدی: حالت‌های همدوس، درهم‌تنیدگی کوانتومی، تراسانی کوانتومی

۱. مقدمه

در این مقاله به بررسی درهم‌تنیدگی^۱ و تراسانی^۲ حالت‌های همدوس دوتایی درهم‌تنیده نوسانگر هماهنگ خواهیم پرداخت. انگیزه بررسی حالت‌های همدوس^۳ این است که این حالت‌ها بسادگی ایجاد می‌شوند و برای استفاده مطمئن هستند [۱ و ۲].

درهم‌تنیدگی کوانتومی یک پدیده مکانیک کوانتومی بدون تفسیر کلاسیکی است که حالت‌های کوانتومی دو یا چند دستگاه، مجبورند با ارجاع به یکدیگر توصیف شوند، حتی اگر

دستگاه‌های منفرد، جداسده باشند [۳]. درهم‌تنیدگی کوانتومی

فهیم پردازش اطلاعات کوانتومی شامل انتقال از دور، رمزگاری^۴ و محاسبات کوانتومی^۵ را ممکن می‌سازد [۴ و ۵]. حالت‌های همدوس درهم‌تنیده بعنوان منبع در تراسانی کوانتومی یا در شبکه‌های کوانتومی استفاده می‌شوند [۶].

در این کار در بخش اول، مروری کوتاه بر نسخه‌برداری ناقص

حالت‌های همدوس خواهیم داشت. سپس در بخش دوم

حالت‌های همدوس درهم‌تنیده دوتایی نوسانگر هماهنگ را با استفاده از رونوشت ناقص^۶ حالت‌های همدوس نوسانگر هماهنگ

^۴. Quantum cryptography

^۵. Quantum computation

^۶. Imperfect cloning

^۱. Entanglement

^۲. Teleportation

^۳. Coherent states

حال اگر دوباره دو حالت خروجی $\left| \frac{\alpha}{\sqrt{2}} \right\rangle$ و $\left| \frac{\alpha}{\sqrt{2}} \right\rangle$ وارد شکافنده

پرتوی $50/50$ متعادل شده دیگری شوند، دو حالت همدوس $|\alpha\rangle$ و $|0\rangle$ اولیه، حالت‌های خروجی جدید خواهند بود، بدون این که حالت‌های اولیه مختلط شده باشند. این مختلط نشدن حالت‌ها نشان‌دهنده جنبه غیرتخریبی حالت‌های همدوس است.

۳. حالت‌های همدوس در هم‌تنیده نوسانگر هماهنگ

با استفاده از رونوشت ناقص حالت‌های همدوس برای حالت

$$|\alpha\rangle \otimes |0\rangle = \frac{1}{\sqrt{N}} (|-\alpha\rangle \pm |\alpha\rangle) \otimes |0\rangle \quad (1)$$

و $|- \alpha\rangle$ دو حالت همدوس نوسانگر هماهنگ با دامنه‌های α و $-\alpha$ هستند، داریم:

$$|\alpha\rangle \otimes |0\rangle = \frac{1}{\sqrt{N}} (|-\alpha\rangle \pm |\alpha\rangle) \otimes |0\rangle \rightarrow \frac{1}{\sqrt{N}} \left(\left| -\frac{\alpha}{\sqrt{2}} \right\rangle \left| -\frac{\alpha}{\sqrt{2}} \right\rangle \pm \left| \frac{\alpha}{\sqrt{2}} \right\rangle \left| \frac{\alpha}{\sqrt{2}} \right\rangle \right). \quad (2)$$

این دو حالت، حالت‌های همدوس در هم‌تنیده نوسانگر هماهنگ هستند. اگر دو حالت همدوس $(|\alpha\rangle \otimes |0\rangle) = \frac{1}{\sqrt{N}} (|-\alpha\rangle \pm |\alpha\rangle)$ و $|\alpha\rangle$ وارد شکافنده پرتوی $50/50$ متعادل شده، مطابق شکل ۱ شوند، حالت‌های خروجی بصورت زیر خواهند بود:

۴. نابودی کanal اندازه‌ای از در هم‌تنیدگی

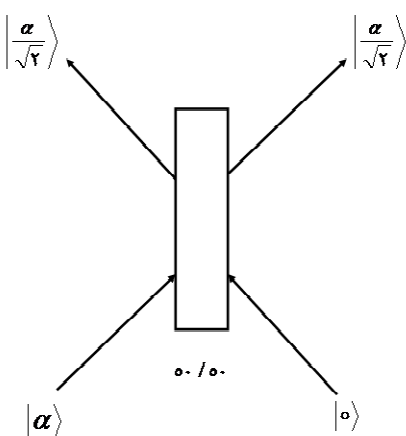
زمانی که کanal در هم‌تنیدگی متعادل شده باشد، کanal را در محیط خلا جاسازی می‌شود، کanal‌ها نامرتبط می‌شوند و هر کدام یک حالت آمیخته با عملگر چگالی $\rho(\tau)$ زمان نا ارتباطی^۳ را بیان می‌کند. برای دانستن وابستگی زمانی $\rho(\tau)$ م باید معادله اصلی زیر را حل کنیم [۸]:

$$\hat{L}_\rho = -\sum_i \frac{\gamma}{2} (a_i^\dagger a \rho + \rho a_i^\dagger a), \quad (3)$$

$$\frac{\partial \rho}{\partial \tau} = \hat{J}_\rho + \hat{L}_\rho, \quad \hat{J}_\rho = \gamma \sum_i a_i \rho a_i^\dagger,$$

^۳. Embedded

^۴. Decoherence time



شکل ۱. شکافنده پرتوی $50/50$ که در یک روش خطی دو میدان ورودی را به دو میدان خروجی تبدیل می‌کند.

ایجاد می‌نماییم. در بخش سوم نابودی کanal بعنوان اندازه‌ای از در هم‌تنیدگی را بررسی خواهیم کرد، و نشان خواهیم داد که اگر حالت‌های در هم‌تنیده بیان شده در بخش دوم در محیط خلا جاسازی شوند، در هم‌تنیدگی آنها کاهش می‌یابد، اما نه به طور کامل. در بخش آخر ترارسانی با یک کanal آمیخته^۱ را ارزیابی می‌کنیم، و نشان خواهیم داد که حالت‌های همدوس در هم‌تنیده دوتایی نوسانگر هماهنگ ایجاد شده، همان‌دھی مطلوبی^۲ که بزرگتر از حد کلاسیکی $\frac{2}{3}$ است را به ما خواهد داد، که برای ترارسانی کوانتمی مناسب می‌باشد.

۲. رونوشت ناقص حالت‌های همدوس

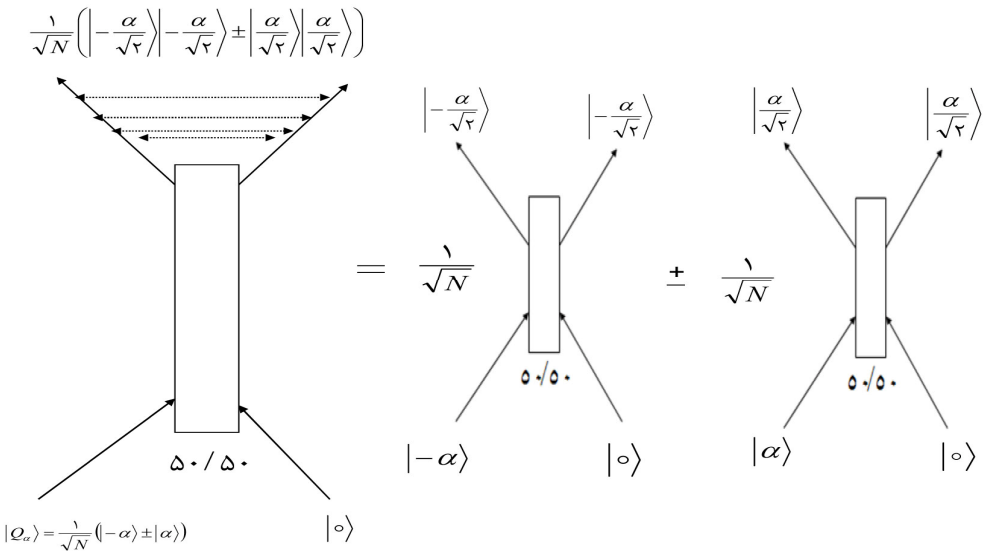
در مرجع [۷] نشان داده شده است که می‌توان حالت‌های همدوس نوسانگر هماهنگ $|\alpha\rangle$ با دامنه α را به طور ناقص نسخه‌برداری کرد:

$$|\alpha\rangle \otimes |0\rangle \rightarrow \left| \frac{\alpha}{\sqrt{2}} \right\rangle \otimes \left| \frac{\alpha}{\sqrt{2}} \right\rangle, \quad (1)$$

که در آن $|0\rangle$ خلا بهنجار شده است. اگر دو حالت همدوس $|\alpha\rangle$ و $|0\rangle$ وارد شکافنده پرتوی $50/50$ متعادل شده در شکل ۱ شوند، حالت‌های خروجی $\left| \frac{\alpha}{\sqrt{2}} \right\rangle$ و $\left| \frac{\alpha}{\sqrt{2}} \right\rangle$ را خواهیم داشت.

^۱. Mixed channel

^۲. Optimal fidelity



شکل ۲. شکافنده پرتونی ۵۰/۵۰ متعادل شده: اثر ساده بر روی حالت‌های همدوس - حالت‌های همدوس برهم نهیده: درهم تنیدگی درین مدهای خروجی.

زیر تعریف می‌کنیم:

$$|\Psi_+(\tau)\rangle = \frac{1}{\sqrt{N_\Theta}} \left(\cos(\Theta) \left| \frac{t\alpha}{\sqrt{2}} \right\rangle - \sin(\Theta) \left| -\frac{t\alpha}{\sqrt{2}} \right\rangle \right), \quad (7)$$

$$|\Psi_-(\tau)\rangle = \frac{1}{\sqrt{N_\Theta}} \left(-\sin(\Theta) \left| \frac{t\alpha}{\sqrt{2}} \right\rangle + \cos(\Theta) \left| -\frac{t\alpha}{\sqrt{2}} \right\rangle \right), \quad (8)$$

که:

$$N_\Theta = \cos^2(2\Theta) \quad , \quad \sin(2\Theta) = \exp(-2\alpha^2) \quad (9)$$

با استفاده از رابطه‌های (۷) و (۸) می‌توان عبارات زیر را برای بیان $(\tau)^T \rho$ برحسب پایه‌های متعامد بدست آورد:

$$\left| \frac{t\alpha}{\sqrt{2}} \right\rangle = \cos(\Theta) |\Psi_+(\tau)\rangle + \sin(\Theta) |\Psi_-(\tau)\rangle, \quad (10)$$

$$\left| -\frac{t\alpha}{\sqrt{2}} \right\rangle = \sin(\Theta) |\Psi_+(\tau)\rangle + \cos(\Theta) |\Psi_-(\tau)\rangle, \quad (11)$$

شرط لازم و کافی جذاب‌زیر بودن دستگاه دو قسمتی دو بعدی، مثبت بودن انتقالات پاره‌ای ماتریس چگالی ρ^{T_τ} است [۸]، یعنی انتقالات پاره‌ای ماتریس چگالی ρ را در نظر بگیرید. ماتریس چگالی ρ جدای نشدنی است، اگر ρ^{T_τ} یک یا چند ویژه مقدار منفی داشته باشد [۱۰]. اندازه درهم تنیدگی E

بحصورت زیر تعریف می‌شود [۹]:

$$E = -\sum_i \lambda_i^-, \quad (12)$$

که در آن λ_i^- یک یا چند ویژه مقدار منفی ρ^{T_τ} هستند و $0 \leq E \leq 1$. با استفاده از رابطه‌های (۶)، (۱۰) و (۱۱) می‌توان

که در آن γ نرخ نابودی انرژی است. حل این معادله بصورت

زیر می‌باشد:

$$\rho(\tau) = e^{[(\hat{J}_\rho + \hat{L}_\rho)\tau]} \rho^{(0)}, \quad (4)$$

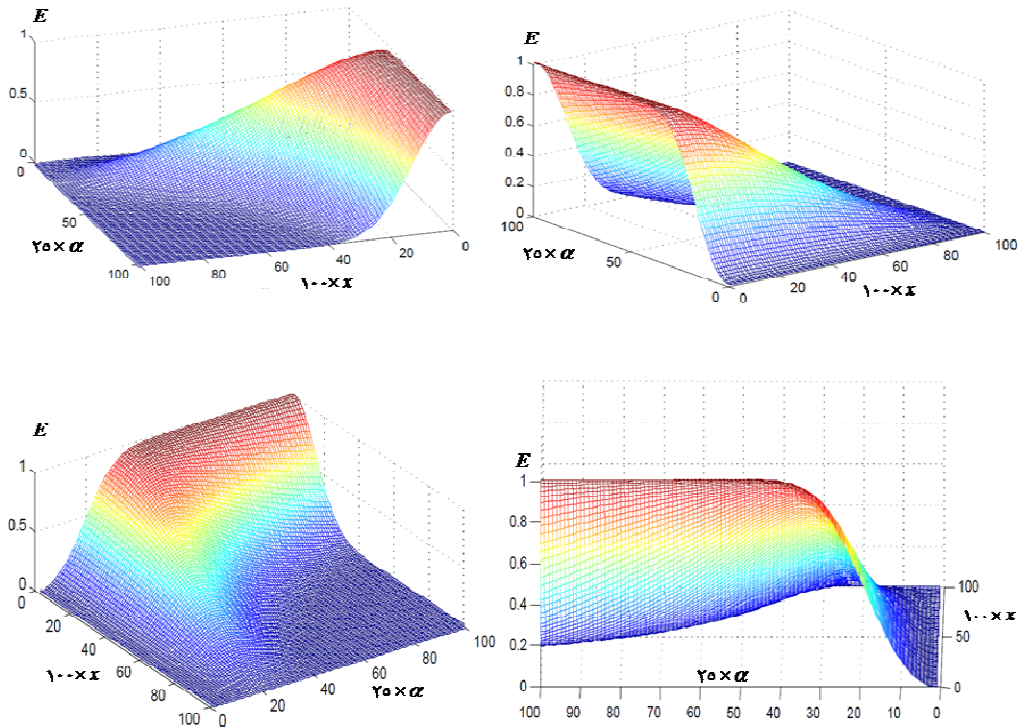
که در آن:

$$e^{[(\hat{J}_\rho + \hat{L}_\rho)\tau]} |\alpha\rangle\langle\beta| = \langle\beta|\alpha\rangle^{-t^\tau} |\alpha t\rangle\langle\beta t|. \quad (5)$$

و داریم $x = \sqrt{1-t^\tau}$ و $t = e^{-\frac{1}{\gamma}\tau}$. برای قسمت‌های بعدی، زمان برهم کنش بهنجهار $x = \sqrt{1-t^\tau}$ را معرفی می‌کنیم. با استفاده از حل رابطه (۳) برای کانال درهم تنیدگی $\rho^\zeta(\tau)$ را محاسبه کردیم که بصورت زیر درآمد:

$$\begin{aligned} \rho^\zeta(\tau) &= \frac{1}{N} \left[\left| \frac{t\alpha}{\sqrt{2}} \right\rangle \left\langle -\frac{t\alpha}{\sqrt{2}} \right| \left| \frac{t\alpha}{\sqrt{2}} \right\rangle \left\langle -\frac{t\alpha}{\sqrt{2}} \right| \right. \\ &\quad + e^{-2\alpha^2 x^\tau} \left| \frac{t\alpha}{\sqrt{2}} \right\rangle \left\langle \frac{t\alpha}{\sqrt{2}} \right| \left| \frac{t\alpha}{\sqrt{2}} \right\rangle \left\langle -\frac{t\alpha}{\sqrt{2}} \right| \\ &\quad + \left| \frac{t\alpha}{\sqrt{2}} \right\rangle \left\langle \frac{t\alpha}{\sqrt{2}} \right| \left| \frac{t\alpha}{\sqrt{2}} \right\rangle \left\langle \frac{t\alpha}{\sqrt{2}} \right| \\ &\quad \left. + e^{-2\alpha^2 x^\tau} \left| -\frac{t\alpha}{\sqrt{2}} \right\rangle \left\langle -\frac{t\alpha}{\sqrt{2}} \right| \left| \frac{t\alpha}{\sqrt{2}} \right\rangle \left\langle \frac{t\alpha}{\sqrt{2}} \right| \right], \end{aligned} \quad (6)$$

وابستگی زمانی پایه‌های متعامد را همانند مرجع [۹]، بصورت



شکل ۳. (رنگی در نسخه الکترونیکی) نمودار اندازه درهم‌تندیگی E بر حسب زمان بهنجارش x و دامنه $\alpha \leq 4^\circ$ (نمودار در چهار زاویه مختلف نشان داده شده است).

$$B = \frac{\left(\cos^r(\Theta) \sin(\Theta) + \cos(\Theta) \sin^r(\Theta) \right) \left(1 + e^{-\tau \alpha^r x^r} \right)}{N},$$

$$C = \frac{\left(\left(\cos^r(\Theta) + \sin^r(\Theta) \right) e^{-\tau \alpha^r x^r} + \tau \cos^r(\Theta) \sin^r(\Theta) \right)}{N},$$

$$D = \frac{\tau \cos^r(\Theta) \sin^r(\Theta) \left(1 + e^{-\tau \alpha^r x^r} \right)}{N}, \quad (14)$$

اندازه‌ای از درهم‌تندیگی با وابستگی زمانی هم به صورت زیر خواهد شد:

$$E = -2(D - C) \quad (15)$$

همان طور که از نمودار شکل ۳ (نموداری است که در چهار زاویه مختلف نشان داده شده است) آشکار است، در زمان اولیه حالت $\langle \cdot \rangle$ ، با افزایش دامنه در بازه $4^\circ \leq \alpha \leq 0^\circ$ ، درهم‌تندیگی آن افزایش می‌یابد و با بزرگتر شدن بیشتر دامنه، حالت درهم‌تندیگی بیشینه دارد ($E(\tau = 0) = 1$). حالت آمیخته $\rho(\tau)$ در همه زمان‌های برهمکنش $\infty < \tau$ و برای همه دامنه‌ها در بازه $4^\circ \leq \alpha \leq 0^\circ$ ، درهم‌تندیه باقی می‌ماند.

$\rho^\zeta(\tau)$ را بصورت زیر بازنویسی کرد:

$$\rho^\zeta(\tau) = \begin{pmatrix} A & B & B & C \\ B & D & D & B \\ B & D & D & B \\ C & B & B & A \end{pmatrix} \quad (13)$$

$$\Rightarrow (\rho^\zeta(\tau))^{T_\tau} = \begin{pmatrix} A & B & B & D \\ B & D & C & B \\ B & C & D & B \\ D & B & B & A \end{pmatrix}$$

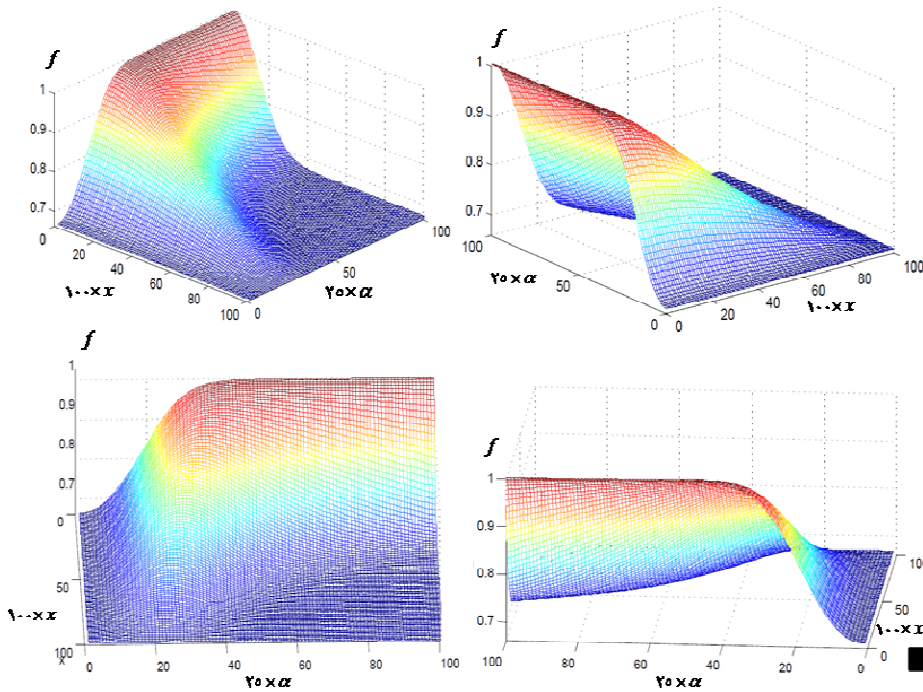
داریم:

$$N = 2 \left(1 + e^{-\tau \alpha^r} \right),$$

$$\sin(\Theta) = \sqrt{\frac{1 - (1 - e^{-\tau \alpha^r})^{\frac{1}{2}}}{2}},$$

$$\cos(\Theta) = \sqrt{\frac{1 + (1 - e^{-\tau \alpha^r})^{\frac{1}{2}}}{2}},$$

$$A = \frac{\left(\cos^r(\Theta) + \sin^r(\Theta) + \tau \cos^r(\Theta) \sin^r(\Theta) e^{-\tau \alpha^r x^r} \right)}{N},$$



شکل ۴. (رنگی در نسخه الکترونیکی) نمودار هماندهی مطلوب $(\tau)^{\kappa} \rho$ برحسب زمان بهنجارش τ و دامنه α (نمودار در چهار زاویه مختلف نشان داده شده است).

$$f(\rho^{\kappa}(\tau)) = \frac{2(A+C)+1}{3}. \quad (17)$$

همان طور که از نمودار شکل ۴ آشکار است، هماندهی مطلوب $(\tau)^{\kappa} \rho$ برای کanal کوانتموی $(\tau)^{\kappa} \rho$ در همه زمانهای برهمکنش $\infty < \tau < \infty$ و برای همه دامنه ها در بازه $4 \leq \alpha \leq 0$ ، بزرگ‌تر از حد کلاسیکی $\frac{2}{3}$ است و برای انتقال از دور کوانتموی مناسب است.

بوس و ودرال فهمیدند که نه تنها درهم تبیدگی، بلکه آمیختگی کanal های کوانتموی روی ترارسانی کوانتموی تاثیر دارد [۱۲]. آمیختگی یک حالت ρ به وسیله آنتروپی خطی $S(\rho) = -Tr(\rho^2)$ می‌تواند کوانتمیده شود. برای کanal همدوس درهم تبیده داریم:

$$S(\rho) = 1 - 2(A^2 + 4B^2 + C^2 + 2D^2), \quad (18)$$

همان طور که از نمودار بالا آشکار است در ابتدا کanal آمیختگی کمتری دارد و سپس آمیختگی آن افزایش می‌یابد درحالی که هرچه دامنه آن در بازه $4 \leq \alpha \leq 0$ ، بزرگ‌تر باشد، آمیختگی بیشتری دارد، که سریعتر هم افزایش می‌یابد و سپس به این دلیل که کanal با خلاً برهمکنش می‌کند، کanal برای $\tau \rightarrow \infty$

۵. بررسی انتقال از دور با یک کanal آمیخته

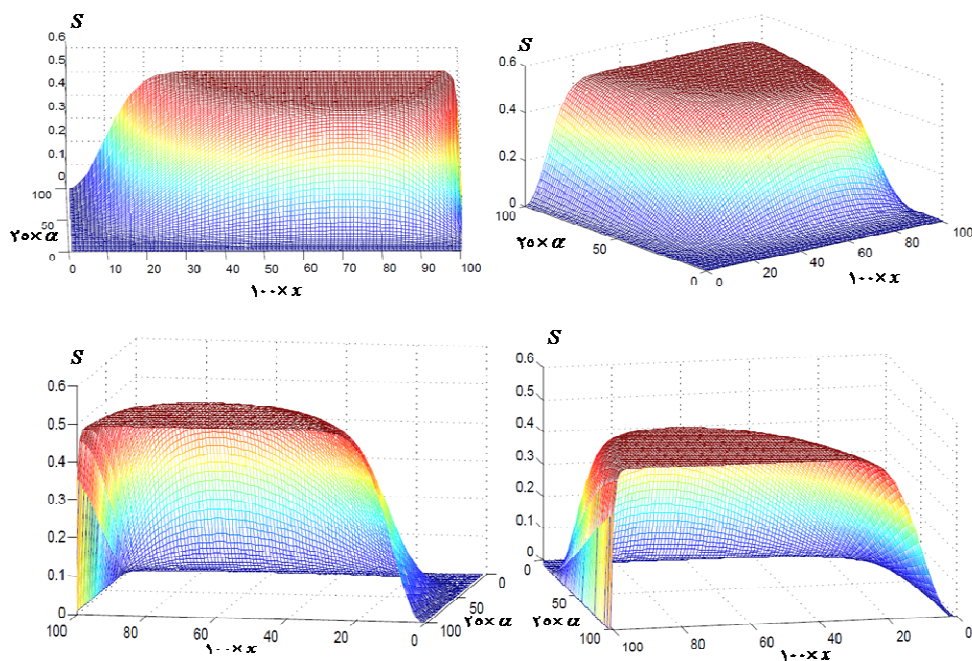
هماندهی مطلوب ترارسانی در یک طرح کلی به وسیله نگهدارنده رد^۱ عملگرهای کوانتموی جایگزینده و ارتباطات کلاسیکی با یک کanal با نسبتی بیشینه از کanal بصورت زیر بیان می‌شود [۱۱و۹]:

$$f(\rho) = \frac{F(\rho)N'+1}{N'+1}, \quad (16)$$

که در آن $f(\rho)$ هماندهی مطلوب برای کanal کوانتموی ρ ، $F(\rho)$ نسبت بیشینه از کanal و N' بعد فضای هیلبرت $\max_{\phi} \langle \phi | \rho | \phi \rangle$ مربوطه است. $F(\rho)$ بصورت $C^{N'} \otimes C^{N'}$ تعریف می‌شود که بیشینه از میان همه حالت‌های درهم تبیده بیشینه $N' \times N'$ است.

هر کanal 2×2 ، زمانی که هماندهی مطلوب $f(\rho)$ کوچک‌تر از حد کلاسیکی $\frac{2}{3}$ است ($F(\rho) \leq \frac{1}{2}$)، برای ترارسانی کوانتموی بی‌فایده می‌شود. هماندهی مطلوب برای کanal کوانتموی $(\tau)^{\kappa} \rho$ به صورت زیر است:

^۱.Trace-preserving



شکل ۵. (رنگی در نسخه الکترونیکی) نمودار آمیختگی $(\tau)^{\kappa} \rho S$ بر حسب زمان بهنجارش x و دامنه $4 \leq \alpha \leq 0^\circ$ (نمودار در چهار زاویه مختلف نشان داده شده است).

جاسازی شود، در هم تبادلگیشان کاهش می‌یابد اما نه به طور کامل و همانندی مطلوب آنها همیشه بزرگ‌تر از حد کلاسیکی $2/3$ است که برای ترارسانی کوانتمی مناسب است. بنابراین به نظر می‌رسد که حالت‌های همدوس، نه تنها بصورت نظری بلکه به صورت تجربی، نقش مهمی را در نظریه اطلاعات کوانتمی داشته باشند.

آمیختگی آن نزول می‌کند، و تبدیل به دو مدخله می‌شود که یک حالت خالص^۱ است.

۶. نتایج

حالات های همدوس در هم تبادل دو تایی نوسانگر هماهنگ با استفاده از رونوشت حالات های همدوس نوسانگر هماهنگ می‌تواند ایجاد شود. این حالات های در هم تبادل اگر در محیط خالص

مراجع

- Theoretical* **45** (24) 244002.
7. K Fujii, “Coherent States and some Topics in Quantum Information Theory”, quant-ph/0207178
 8. S J D Phoenix, *Phys. Rev. A* **41** (1990) 5132.
 9. H Jeong, M S Kim, and J Lee1, *Physical Review A* **64** (2001) 052308
 10. J Lee and M S Kim, *Phys. Rev. Lett.* **84** (2000) 4236; J Lee, M S Kim, Y –J Park, and S Lee, *J. Mod. Opt.* **47** (2000) 2151
 11. R Horodecki, P Horodecki, and M Horodecki, *Phys. Rev. A* **60** (1999) 1888.
 12. S Bose and V Vedral, *Phys. Rev. A* **61** (2000) 040101.

1. D Popov, I Zahari, Vjeckoslav Sajfert, I Luminosu, and D Popov, *Int. J. Theor. Phys.* **47** (2008) 1441.
2. E Andersson, M Curty, and I Jex, *Physical Review A* **74** (2006) 022304
3. M Le Ballac, “A Short Introduction to Quantum Information and Quantum Computation”, Cambridge University press (2006).
4. C H Bennett, G Brassard, C Crépeau, R Jozsa, A Peres, and W K Wootters, *Phys. Rev. Lett.* **70** (1993) 1895.
5. A Barenco, D Dutch, A Ekert, and R Jozsa, *Phys. Rev. Lett.* **74** (1995) 4085.
6. BC Sanders, *Journal of Physics A: Mathematical and*

¹ Pure state